

فعالية خوارزمية التطور المعادلة لتحسين عمر الشبكة في WSN

اريتساوس أحمد خليل^{1*} محمد ابراهيم الحسين²

¹. طالبة دكتوراه، مهندسة في قسم هندسة الالكترونيات والاتصالات، كلية الهندسة الميكانيكية والكهربائية،
جامعة دمشق، سوريا. AretaKhalee@Damascusuniversity.edu.sy

². استاذ، دكتور، مهندس في قسم هندسة الالكترونيات والاتصالات، كلية الهندسة الميكانيكية والكهربائية،
جامعة دمشق، سوريا. MohammadAl-ussein@Damascusuniversity.edu.sy

الملخص:

تعزيز عمر الشبكة هو الهدف الأساسي للباحثين في شبكات الاستشعار اللاسلكية. تعتبر الطاقة المستمرة في التوجيه و اختيار رأس المجموعة من بين الخيارات المختلفة لتقليل استهلاك الطاقة، ومن افضل الاليات الفعالة. تم اعتبار كلتا المهمتين صعبة للغاية ويصعب الحصول على الحل الفعال. نظراً لأنه من الصعب على الأساليب التقليدية تلبية المتطلبات والصعوبات، فإن الحل وفق خوارزميات الميتاهستيرية الذي يركز على طرق الحساب الطبيعية قد وفر البساطة. يقترح العمل مواجهة هذه التحديات باستخدام الذكاء الحسابي وخاصة التطور التقاضي Differential Evolution DE والخوارزمية الجينية Genetic Algorithm GA. تم تصميم طريقة موفرة للطاقة في الشبكة الديناميكية مع اختلافات في DE، وتم اكتشاف طرق سريعة وقابلة للتكييف للشبكات التي تخضع للتغيرات. تم تصميم DE القائم على المعرفة اعتماداً على المعرفة السابقة لإعادة تحديد طرق جديدة لتغيير الشبكة. تم تصميم إستراتيجية الطفرات الهجينية بموجب DE القياسي لاختيار رأس المجموعة التي توفر خصائص تقارب أسرع. تم تفيد الحلول المقترنة في ظل بيئة MATLAB وأظهرت النتائج أن الحلول المقترنة تعمل بشكل أفضل لتكونيات الشبكات المختلفة. حق اكتشاف المسار الديناميكي باستخدام Knowledge based (KDE Differential Evolution) توفر للطاقة بنسبة 9.83 إلى 49.2 بالمائة مقارنة بـ Redefinition of population in Differential Evolution (RDE) و 6.7 إلى 29.5 بالمائة مقارنة بـ random Perturbations in Differential Evolution (PDE). كما أن توفير الطاقة الذي تم تحقيقه في اختيار رأس المجموعة باستخدام Hybrid mutation strategy based DE (HMDE) هو 10 إلى 33 بالمائة أفضل مقارنة بـ different algorithm dynamic weighted PSO (dyPSO) وبالنسبة إلى 5 إلى 10 بالمائة أفضل مقارنة بـ standard DE (SDE).

الكلمات المفتاحية: شبكة الاستشعار اللاسلكية، استهلاك الطاقة، التوجيه، رأس العنقود، التطور التقاضي

تاريخ الابداع: 2023/2/20

تاريخ القبول: 2023/3/6



حقوق النشر: جامعة دمشق - سوريا،
يحتفظ المؤلفون بحقوق النشر بموجب CC BY-NC-SA

BY-NC-SA

Effectiveness of modified evolution algorithm to improve network lifetime in WSN

Aretas Ahmad Khaleel^{*1} Mohammad Ibrahim Al-Hussein²

^{*1}. PhD student, Department of communication and electronic engineering, Faculty of mechanical and electrical Engineering, Damascus University, Damascus, Syria.

AretaKhalee@Damascusuniversity.edu.sy

². Prof, Dr, Eng, Department of communication and electronic engineering, Faculty of mechanical and electrical Engineering, Damascus University, Damascus, Syria.

MohammadAl-ussein@Damascusuniversity.edu.sy

Abstract:

Enhancing network lifetime is the primary goal of wireless sensor network researchers. Among the various options for reducing energy consumption, the energy invested in steering and group head selection is one of the most effective mechanisms. Both tasks were deemed too difficult and the effective solution difficult to obtain. Since it is difficult for traditional methods to meet the requirements and difficulties, the solution according to meta-algorithms focusing on natural arithmetic methods has provided simplicity. The work proposes to face these challenges by using computational intelligence, especially DE Differential Evolution and GA Genetic Algorithm. An energy-efficient method discovery was designed for dynamic network with variations in DE, and fast and adaptive methods for networks undergoing changes were designed. Knowledge-based DE is designed drawing on prior knowledge to redefine new ways to change the network. The strategy of hybrid mutagenesis under standard DE is designed to select the head of the cluster that provides faster convergence characteristics. The proposed solutions were implemented under the MATLAB environment and the results showed that the proposed solutions work best for different network configurations. Dynamic path detection using KDE achieved energy savings of 9.83 to 49.2 percent compared to RDE and 6.7 to 29.5 percent compared to PDE. The energy savings achieved in group head selection with the proposed HMDE are 10 to 33 percent better compared to dyPSO and 5 to 10 percent better compared to SDE.

Keywords: wireless sensor network, power consumption, routing, head of cluster, differential evolution.

Received: 20/2/2023

Accepted: 26/6/2023



Copyright: Damascus University- Syria, The authors retain the copyright under a CC BY- NC-SA

المقدمة:

الشبكة الذي لا يتضمن الحلقات. عندما تكون هناك تغييرات في الشبكة، سيكون الهدف الأساسي هو العثور على مسار أمني جديد بأقل تكالفة يخدم متطلبات التأخير للتطبيق من وجهة نظر توفير الطاقة. تكون شبكات WSN عادةً من عقد مستشعر تم نشرها وتكونها وفقاً لسيارات التطبيق، بالإضافة إلى محطة قاعدية موضوعة بالقرب نسبياً منها أو ضمن نطاق إرسال الشبكة. ترسل المحطة القاعدية الطلبات إلى العقد المجاورة، والتي تقوم بإجراء الاستشعار وإعادة البيانات إلى المحطة كاستجابة للاستعلام. تستخدم عقد الاستشعار في WSN مستوى كبير من الطاقة في الاستشعار والتشغيل والتواصل، وتخالف كمية طاقة البطارية المستخدمة في إرسال حزمة تبعاً لبعدها عن عقد الإرسال والاستقبال، وبالتالي يفضل نقل البيانات متعدد الفرزات باستخدام التوجيه الهرمي، الذي ينظم مجموعة من العقد في مجموعات لإطالة عمر شبكة الاستشعار، لإرسال البيانات. ثم يتم تحديد رأس الكتلة (Cluster Head CH) لكل كتلة، تقوم رؤوس الكتل بتجميع البيانات من أعضائها وتنقلها إلى المحطة القاعدية بأقل تكلفة ممكنة للإرسال متعدد الفرزات. التجميع في كتل (Clustering) هو أحد تقنيات التوجيه الهرمي الفعالة للغاية في تقليل الطاقة المستخدمة بواسطة عقد الاستشعار [sekran, 2020, R.V. kuttarn, 2011].
للاتصال يتم إرسال البيانات المجمعة من رؤوس الكتل إلى المحطة القاعدية البعيدة إما مباشرةً أو عبر رؤوس كتل وسيطة. لكي تكون على دراية بالتغييرات في البيانات أو بدء الحدث، يتم توصيل المحطة القاعدية بالشبكة العامة مثل الإنترنت (عبر WiFi). يمكن تضمين مزايا مختلفة مع التجميع في WSN مثل تجاهل البيانات الزائدة عن طريق تمكين تجميع البيانات على مستوى رأس الكتلة، والحفاظ على تدفق البيانات المطلوب. حدّدت [nabravi 2022] جودة اختيار رأس الكتلة جودة الحفاظ على الطاقة وبالتالي

ت تكون شبكة المستشعرات اللاسلكية (Wireless Sensor Network WSN) من الكثير من أجهزة الاستشعار الصغيرة التي تكتشف البيئة فيما يتعلق بالمعلمات ذات الأهمية. يوفر الحجم الصغير لأجهزة الاستشعار، والتكلفة المنخفضة، والاستهلاك الصغير للطاقة، والاتصالات السهلة مع جيرانهم مزايا وظيفية بينما الانتشار في مناطق معادية يجعل الوضع شبه مستحيل لتوفير إعادة شحن الطاقة. [pralhad,2022] استهلاك الطاقة في عقد الاستشعار، وعمر الشبكة الطويل، ونقل البيانات السريع، والاستقرار لها متطلبات مهمة لتطبيقات WSN من أجل الحفاظ على الطاقة في عقد الاستشعار وبالتالي زيادة عمر الشبكة. تواجه WSN مشكلة في نطاق التغطية وعمر الشبكة والتقارب وتجميع البيانات بسبب القيود المختلفة في عقد المستشعر بطريقة معينة اعتماداً على التطبيق، بالإضافة إلى محطة قاعدية (Base Station BS) داخل نطاق الراديو. يشتمل تكوين WSN على عدد كبير من المستشعرات التي تم توزيعها عشوائياً باستخدام دالة التوزيع الاحتمالي أو تم تنظيمها بطريقة معينة اعتماداً على التطبيق، بالإضافة إلى محطة قاعدية موجودة داخل النطاق الراديوي. ترسل المحطة القاعدية استعلامات إلى عقد الاستشعار القريبة، والتي تكتشف الاستعلام وستجيب له بالبيانات. تعد كفاءة نهج التوجيه من أهم العوامل المحددة لنجاح الشبكة بشكل عام في جميع أشكال الشبكات [mohammed, 2022, johi 2021]. في شبكة WSN، تحول خصائص الهيكل الديناميكي التوجيه إلى تحدي تحسين فعال [sharawi 2013]. للعثور على أفضل حل، من الضروري أن يكون قابلاً للتكييف. يمكن وصف مشكلة التوجيه في الظروف المعقدة على النحو التالي: بالنسبة لزوج من العقد التي تعمل كنقطة نهاية في شبكة لاسلكية مع تأخير، ابحث عن المسار الأقل تكلفة في

خليل، الحسين

الفعال. في [2020 shafiq, qaboushe, 2021]، تم إجراء مراجعة مفصلة للتوجيه الفعال لـ WSN. يقدم [Hybrid Routing Protocol (Energy Efficient Static Routing Protocol)، والذي يجمع بين إستراتيجيات التوجيه العنقودي والتوجيه متعدد Internet of Things (IoT) الاهتمام بمعدل سريع. في الغالبية العظمى من الحالات، يطلب من شبكات WSN ربط أجهزة إنترنت الأشياء. ويواجه الباحثون تحدياً كبيراً في تفزيذ الشبكات المستقرة لعقد الاستشعار ذات الموارد المحدودة في WSN. وتحسين قابلية التوسيع، تعد بروتوكولات التوجيه الهرمية مناسبة لتجمیع العقد في شبکات WSN. تستخدم خوارزمية (low energy adaptive clustering التجمیع الأساسية hierarchy LEACH) جولات عشوائية وتجمیعاً موحداً لرؤوس المجموعات القريبة لتعزیز قابلية التوسيع وكفاءة الشبکة [R.V.kuttkarn,2011]. تم تمدید عمر الشبکة باستخدام بروتوكول تجمیع موزع هجین موفر للطاقة (Hybrid Energy-Efficient Distributed HEED) والذي حدد التجمیع واختیار رأس المجموعة بناءً على الطاقة المتبقیة في عقدة الاستشعار وتكلفة الاتصال من المصدر إلى الوجهة [k.n.dattatraya,2019]. تم اقتراح التکتل Energy Efficient Hierarchical (EEHC) في [halamuge, 2022 k.]، مما يطیل من عمر شبكة المستشعرات. يتسبّب التجمیع الهرمي في زيادة الحمل على رؤوس المجموعات ويقلل من قدرتها بشكل أسرع من العقد الأخرى. اقترحت الورقة [n.m.latiff, 2007] مخطط لتخصیص رأس الكتلية الذي يقلل من تبیدي الطاقة مع تقليل التکرار غير الضروري ويطیل عمر الشبکة مقارنةً بـ LEACH الحالي. لتقلیل الاستهلاک العام للتوجیه والاستغلال الفعال لتوافر الطاقة، اقترحت الورقة [prabharan,2019] استراتيجية توجیه متعددة المسارات تکیفیة ذات کفاءة في استخدام الطاقة، وفي [rathore,2021] تم تجمیع المنطقة الخاضعة للمراقبة في مجموعات من العقد المجاورة مع مجموعة مختارۃ من رأس

فعالية خوارزمية التطور المعدلة لتحسين عمر الشبکة.....
كانت هناك حاجة إلى عملية فعالة في هذا الاختیار. عانى النهج الكلاسيكي للتحسين من ضعف الكفاءة خاصة مع زيادة حجم الشبکة. ينصب التركیز الرئیسي للعمل البحثي على البدء بإيجاد طریق موفر للطاقة في ظل السلوك الدیناميکي للعقد في الشبکة. بالإضافة إلى تصمیم وتطبیق خوارزمیات تطوریة طبیعیة للذکاء الحسابی لتفییر الشبکات دیناميکیاً للحصول على مسارات أفضل وقابلة للتکیف بسرعة، لتصميم وتطبیق شکل هجین من الحلول للعثور على اختیار رأس الكتلية الموفر للطاقة باستخدام DE. أخيراً، يعتبر التحلیل المقارن لجمیع الخوارزمیات بمثابة فترة استقرار للمسار المعاد تعريفه للشبکات الدیناميکیة والطاقة المستهلكة لاختیار رؤوس الكتل. فيما يلي ملخص للعمل الذي تمت مناقشته في هذه الورقة: تم الوصول الى الأعمال ذات الصلة في القسم 2، وتم النبذة الإحصائیة للتوجیه، في القسم 3. وفي القسم الرابع تم ایجاد النتائج التجربیة التفصیلیة للتوجیه. تمت مناقشة نبذة مشکلة رأس العقد والمتغير المطبق لـ DE في القسم 5 بينما تم عرض النتائج التجربیة في القسم 6. وتم تقديم الاستنتاج في النهاية.

- 1 - العمل ذات الصلة:

تم تفیید خوارزمیات التوجیه الذکیة باستخدام تقنیات الحوسبة [johi, 2021, sharawi, 2013, uppal. 2018] التي تعمل على تحسین أداء الشبکة بالإضافة إلى إطالة عمر الشبکة. إن الحل عبارة عن حل هجین يستخدم خوارزمیة جینیة من خلال نموذج متقطع لتحديد أفضل الطرق مع المنطق الضبابی لتقدير تکالیف الاتصال. يتم تحديد تکلفة الاتصال بين العقد المجاورة، مع مراعاة الطاقة المتبقیة لعقدة، والمسافة من المحطة الأساسية من أجل تحسین التوجیه. يتم تحديد تکالیف ارتباط العقد المجاورة باستخدام آلیة منطق ضبابی، ويتم التعبیر عن التکالیف في مصفوفة تکلفة الارتباط التي تتم مراجعتها بعد كل تکرار. يقترح Dragonfly [vinodhini,2020] خوارزمیة البعسوب (Algorithm DA) باعتبارها تقنیة تحسین ذکاء السرب الموفرة للطاقة لجمع رؤوس الكتلية. تُستخدم خوارزمیة تحسین Glow-worm Swarm Optimization GSO) للتوجیه

خليل، الحسين

بإمكانها توفير الطاقة باستخدام التطور التفاضلي والخوارزميات الجينية. تمثل فكرة العمل البحثي المقترن في تطبيق الأشكال المعدلة لخوارزميات الذكاء الحسابي لتقليل تكلفة العثور على المسار واختيار رأس المجموعة بحيث يتم تحقيق تحسين في أداء الشبكة.

-2 توجيه فعال للطاقة وفقاً للشبكة الديناميكية WSN

اقتراح توجيه الإرسال الأحادي بين عقدتين في الرسم البياني (graph) $G(V, E)$ حيث V هو مجموعة العقد v_i , بينما E مجموعة الأزواج (v_i, v_j) و $N < j, i > 1$, وحد أقصى للتأخير Δ . تمثل عملية التوجيه في العثور على عدد من المسارات $\{O_i | i \in \{0, 1, \dots\}\}$ بالتابع على مجموعة من الرسوم البيانية $G_i | i \in \{0, 1, \dots\}$ مع استيفاء قيود التأخير الواردة في المعادلة 1 وتوفير المسار الأقل تكلفة الوارد في المعادلة 2.

$$\Delta(O_i) = \sum_{l \in O_i(s,r)} d_l \leq \Delta \quad (1)$$

$$CF(O_i) = \text{Min}_{o \in G_i} \left\{ \sum_{l \in o(s,r)} CF_l \right\} \quad (2)$$

من الناحية العملية، تميل التطبيقات أو الأنظمة التي تم إنشاؤها باستخدام شبكات WSN إلى التغيير لأن الشبكة الديناميكية بطبيعتها، لذلك فإن إيجاد الحل الأمثل في بيئة ديناميكية مثل تحدياً كبيراً. من الأهمية بمكان استكشاف المشهد المتغير بسرعة من أجل إيجاد الحل الأمثل وتتبع التغيرات البيئية. تميز مناهج الحوسبة الطبيعية بدرجة عالية من القدرة على التكيف مضمنة لأنها تستند إلى نماذج طبيعية. ذكاء السرب معروف جيداً وقد تم توضيحه في عدد من التطبيقات باستخدام تقنيات البرمجة الطبيعية مثل الحساب التطوري.

3- الحل المقترن:

ينظر إلى التطور التفاضلي كواحد من أصعب الكيانات في الحساب التطوري، تظهر العملية المنطقية للتطور التفاضلي في الشكل 1. يتم استخدام ناقل ذو بعد D لأفراد NP في هذه الخوارزمية. يستخدم DE الطفرات لبناء ناقل مانع

فعالية خوارزمية التطور المعدلة لتحسين عمر الشبكة..... الكتلة الأقرب إلى المحطة القاعدية، وقامت خوارزمية PSO (Particle Swarm Optimization) في NP-[j.kenndy,1995] بحل فعال لمشاكل الأمثلة الصعب hard. وفقاً لمؤلفي [fxiangning, 2007, n.lattif,2007]، فإن أداء PSO أفضل بكثير من LEACH من حيث مدة الشبكة ومتوسط تدفق البيانات. تم اقتراح مخطط لجمع البيانات المتنقلة في WSN باستخدام اختيار رأس الكتلة القائم على الحوسبة الناعمة وتجميعها لحل مشكلة الطاقة [Prabaharan, G. et al, 2019]. وتعمل مجموعة رأس الكتلة الذكية، بالإضافة إلى جمع البيانات، على تقليل وقت التحميل وإهدار الطاقة. نتيجة لانخفاض فقدان الطاقة، تم تمديد عمر الشبكة. في [Vijayalakshmi, K. et al, 2019]، تمت مناقشة أفضل طريق للاختيار في التوجيه لزيادة عمر الشبكة واستخدام الطاقة. تم استخدام العديد من الأساليب التجريبية بنجاح، بما في ذلك تحسين سرب الجسيمات (PSO)، ولكن مع تحسين محلي ضعيف. اقترح على أساس مسافة العقدة وسعة العقدة. يهدف اختيار رأس المجموعة إلى تقليل استهلاك الطاقة وزيادة عمر الشبكة إلى أقصى حد من خلال تطبيق نظرية عقدة ترحيل أقصر مسار. يتم إطلاق مجموعة المسار المختارة لتلبية استهلاك الطاقة المتوفرة عندما يتم تحميل عدد قليل من عقد الكتلة الفرعية بشكل كبير.

يتم نقل عقد المستشعر ذات الوزن العالي إلى المجموعات المناسبة. وبالتالي، سيتصرف هذا المستشعر كعضو كتلة تحت رأس كتلة معين وينقل معلوماته إلى المحطة الأساسية من خلال هذا الرأس. يتم اختبار تجربة الخوارزمية المقترنة في السيناريوهات المختلفة لعقد المستشعر من خلال تغيير عدد عقد الاستشعار ورؤوس الكتل. لتحليل فعالية العمل المقترن، يتضح من المراجعات أنه تم تجربة العديد من الاتجاهات الجديدة لتحسين المسار والحصول على نتائج أفضل أيضاً. على الرغم من وجود العديد من الطرق لتحسين عمر الشبكة، إلا أنه هناك مجالاً لإيجاد طرائق موفرة للطاقة واختيار رؤوس مجموعات أفضل لا يزال

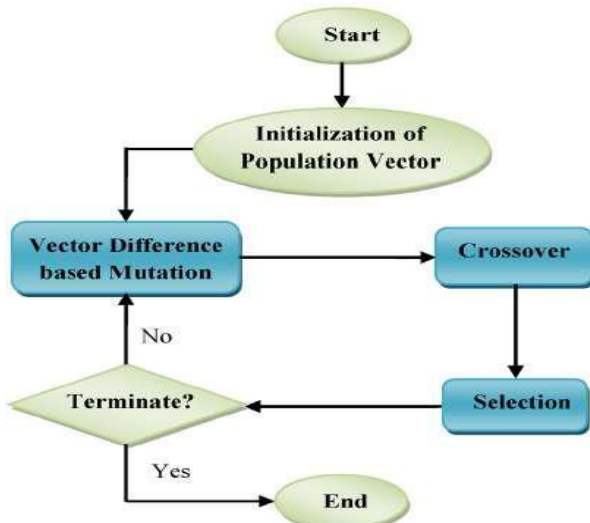
خليل، الحسين

السكان (ج) تطبيق المعلومات المكتسبة من الحلول المعززة مسبقاً على السكان الحاليين. تتم محاكاة الشبكة عن طريق نشر عقد الاستشعار، مع توزيع عشوائي منتظم على إحداثيات X و Y ضمن منطقة محددة. يتم تحديد الاتصال بين العقد باستخدام المسافة الإقليدية المحسوبة على نطاق اتصال العقد.

٤-٤ التطور التفاضلي مع إعادة تعريف السكان في الوقت المحدد (RDE) :

من أجل التعامل مع التغيرات التي تحدث، تمت إضافة مجموعة سكانية جديدة تماماً بدرجة عالية من التنوع في لحظة التحولات المرصودة. تتلخص خطوات RDE وفق التالي: ١- تهيئة السكان. ٢- استخدم مشغلي التقاطع والطفرة لتوليد النسل. ٣- تطبيق الاختيار بين الوالدين والنسل. ٤- إذا حدث تغيير في الشبكة: فإن الجيل الحالي = إنشاء مجتمع جديد آخر وإلا الجيل الحالي = الجيل القاسم.

٥- العودة إلى الخطوة ١ اذا لم يتم الوصول إلى النهاية.



الشكل(1) المخطط التدفقي لخوارزمية التطور التفاضلي

٤-٢-٤ التطور التفاضلي مع اضطراب مستمر: [PDE]

للحصول على تنوع كافٍ في السكان، تم إدخال عضو جديد إلى السكان، مما أدى إلى تنوع أكبر، وإذا نشأ موقف

فعالية خوارزمية التطور المعدلة لتحسين عمر الشبكة.....
بعد V_i (donor) ببعض D. لكل ناقل، خلال كل جيل يتم تعريف الناقل المانح عن طريق مجموعة متنوعة من المنهجيات. في هذه الدراسة، تم استخدام منهجية DE/rand/1، كما هو موضح في المعادلة 3. تم تصميم ناقل تجريبي لمشغل التقاطع u_i كما هو موضح في المعادلة 4. يتم تمثيل احتمالية إنشاء معلمات للناقل التجاري من ناقل الطفرة بواسطة CR، وهو معامل تحكم التقاطع أو معامل في المجال [0, 1]. يتم اختيار الدليل j_{rand} عشوائياً من المجموعة [0, NP]. بعد ذلك، وفقاً للمعادلة 5، تختار عملية الانتخاب لنواقل الجيل التالي إما من الناقل المستهدف (x_i) أو من النواقل التجريبية المقابلة.

$$V_i^{(G)} = A_{r1}^{(G)} + F \times (A_{r2}^{(G)} - A_{r3}^{(G)}) \quad (3)$$

$$u_{ij}^{(G)} = \begin{cases} v_{ij}^{(G)} & \text{if } rand(0,1) \leq CR \text{ or } j = j_{rand} \\ x_{ij}^{(G)} & \text{otherwise} \end{cases} \quad (4)$$

$$x_{ij}^{(G)} = \begin{cases} u_i^{(G)} & \text{if } f(u_i^{(G)}) \leq f(x_{ij}^{(G)}) \\ x_i^{(G)} & \text{otherwise} \end{cases} \quad (5)$$

قمنا بتصميم أنواعاً مختلفة من الخوارزميات الجينية، مثل إعادة تعريف السكان في التطور التفاضلي (Redefinition of population in Differential Evolution RDE) والاضطرابات العشوائية في التطور التفاضلي (Perturbations in Differential Evolution PDE) والتطور التفاضلي القائم على المعرفة (Knowledge based KDE)، للحصول على أقصر مسافة توجيه. يمكن أن يحدث الهيكل الديناميكي في مجموعة متنوعة من التطبيقات، مثل نظام تتبع الحيوانات، واستراتيجية الجندي في ساحة المعركة، وما إلى ذلك. التطور هو المثال المثالى للتكيف في البيئات الطبيعية، ولهذا السبب تم إنشاء التطبيقات باستخدام إطار عمل الخوارزمية الجينية. ومع ذلك، فإن الصعوبة الحالية تكمن في التحديد السريع لأفضل اتصال للتحول الهيكلي. تم بناء ثلاث تقنيات متميزة في هذا التحليل لمواجهة التحديات المذكورة أعلاه: (أ) توظيف مجموعة حلول جديدة تماماً للحدث (ب) الحفاظ على قدر صغير من الاضطرابات في

خليل، الحسين

مشغلي القاطع والطفرة. 3- تطبيق الاختيار بين الوالدين والنسل. 4- POPN: الجيل القادم من السكان.

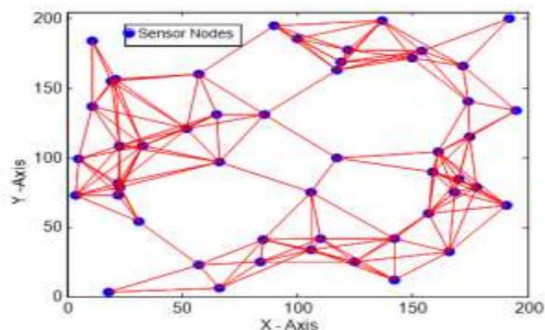
-5

الخطوة (2) احصل على هويات جميع الجيران المحتملين.

الخطوة (3) حدد مستشعراً متصلًا من الجيران المحتملين باستخدام إجراء عشوائي موحد.

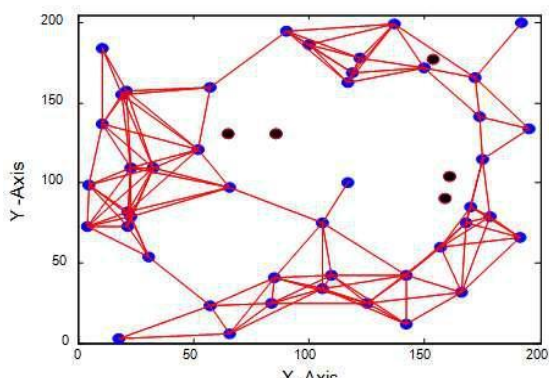
الخطوة (4): أضف العقدة المحددة كعقدة تالية في مسار التوجيه إذا لم تكن هي مستشعر الوجهة.

الخطوة 5: كرر من الخطوة 2، حتى يلتقي المصدر وال وجهة



الشكل (2) نمذجة شبكة مع 50 عقدة

بالنسبة للشبكة المحاكاة أعلاه الموضحة في الشكل 2، تم تطبيق ثلاثة أحداث مختلفة على الشبكة وتم ملاحظة التغييرات في الهيكل. الشكل 3 يصور الطوبولوجيا المقابلة للحالة الثالثة. حدثت هذه الاختلافات في الطوبولوجيا في الوحدات الزمنية العاشرة، والعشرون، والثلاثون. لتحديد مسار التوجيه بين العقدتين 11 و49، تم استخدام خوارزميات مختلفة مثل RDE و PDE و PDE.



الشكل (3) تغيير طوبولوجيا الشبكة في الحالة الثالثة

فعالية خوارزمية التطوير المعدلة لتحسين عمر الشبكة..... ديناميكي، فإن هذا النوع سيسهل اكتشاف البدائل. تسمح هذه الطريقة بمعالجة أسهل للمشكلات الديناميكية مع تجنب الحاجة إلى اكتشاف الأحداث. يمكن تلخيص خطوات PDE وفق التالي: 1- تهيئة السكان. 2- لتوليد النسل، استخدم

$$Pos_{min} = f_{min}(NPOP)$$
$$NPOP(POS) = A \text{ new solution}$$

6- ارجع إلى الخطوة 1 إذا لم يتم الوصول إلى الإنهاء

4-3- التطور التفاضلي مع تبادل المعرفة (KDE)

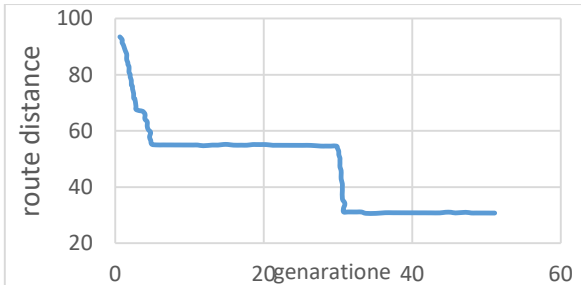
إذا كان من الممكن تطبيق الخبرة من أفضل حلول الأجيال السابقة على أفضل الحلول للجيل الحالي، فهناك فرصة معقولة لأن يكونوا قادرين على إدارة الهيكل الديناميكي بكفاءة لأنهم سيعرفون الآن كيفية التعامل مع تغييرات الهيكل بمرور الوقت. وبالتالي يمكن تحقيق الحلول المثلث في وقت أقل، مع احتمال أقل بكثير للفشل. تتلخص خطوات KDE وفق التالي: 1- تهيئة السكان. 2- توظيف مشغلي التبادل والطفرة لتوليد النسل. 3- تطبيق الاختيار على أساس اللياقة بين الوالدين والنسل. 4- قم بتخزين أفضل عضو من NPOP في SB_i في 5- استبدل أفضل عضو من NPOP بالحل المتاح في SB_{i-1} 6- في حالة عدم حدوث الإنهاء، انتقل إلى الخطوة 1.

5- تصميم تجاري لتوجيه الطاقة بكفاءة:

تم إجراء تجارب المحاكاة في بيئة MATLAB. تم نشر مجموعة من 50 عقدة في مساحة 200×200 وحدة مربعة. يتم تعين كل عقدة في المحاكاة على نطاق اتصال من 50 وحدة، يتم تعين حجم السكان ويتم تحديد الاتصال الطوبولوجي عن طريق حساب المسافة الإclideanية بين كل عقدة وكذلك جميع العقد الأخرى. أنشاء تهيئة السكان في المرحلة الأولية، يتم تحديد مسار التوجيه بين المصدر والوجهة المختارة باستخدام مفهوم قائم على القيد. تم تمثيل الكروموسومات باتباع الخطوات التالية:

الخطوة (1) تعين رقم بداية لمستشعر المصدر.

خليل، الحسين



الشكل (6) خصائص التقارب للتوجيه القائم على KDE

وسرعة اكتشاف الحلول العالمية. وذلك لأن تجربة الحالة السابقة تساعد في التقلل بشكل صحيح في حدث حالي. الجدول(1) يعرض أداء الشبكة عبر طبولوجيا مختلفة تم إنشاؤها بواسطة أحداث مختلفة.

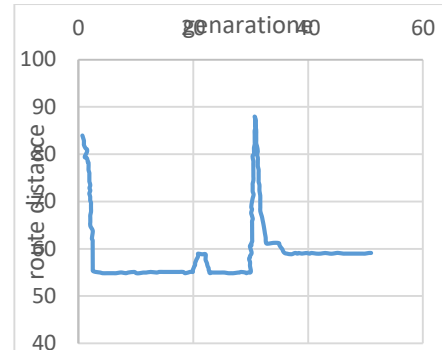
مدة الاستقرار (وحدة زمنية)	التكلفة الفضوى لاحقاً بعد الحدث	قيمة التكلفة في الحدث	قيمة التكلفة قبل الحدث	نهج الحسابي	طبولوجيا على أساس الحدث
5	81	59	59	RDE	حدث 1
0	59	59	59	PDE	حدث 1
0	55	55	55	KDE	حدث 1
6	73	61	61	RDE	حدث 2
0	59	59	59	PDE	حدث 2
0	55	55	55	KDE	حدث 2
5	67	55	55	RDE	حدث 3
1	44	59	59	PDE	حدث 3
1	31	55	55	KDE	حدث 3

الجدول (2) توفير الطاقة في التوجيه للشبكة الديناميكية

أفضل مع KDE PDE	أفضل مع KDE RDE	حدث
%6.78	%9.83	1
%6.70	0	2
%29.50	%49.20	3

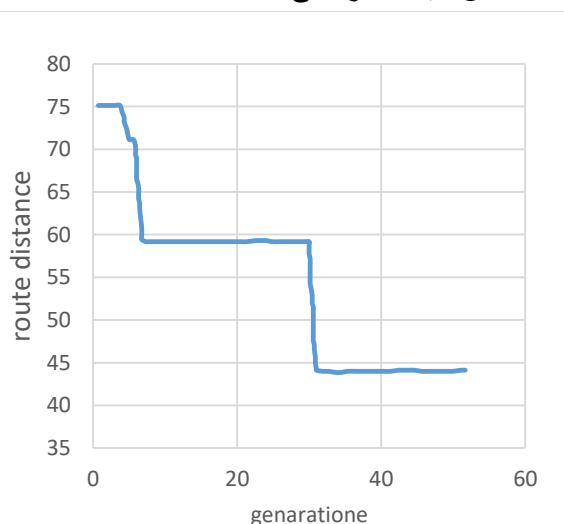
للعثور على أفضل مسار للشبكة في ظل بيئة ديناميكية، من الضروري العثور على المسار بسرعة قبل أن تخضع الشبكة للتغيير الجديد. من أجل الحصول على طرق قابلة للتكييف في وقت قصير وأيضاً الحفاظ على استقرار المسار داخل مشغلات الأحداث الجديدة، يتم التعامل مع KDE والذي بدوره يعتمد على المعرفة المكتسبة من أفضل النتائج السابقة

فعالية خوارزمية التطور المعادلة لتحسين عمر الشبكة.....



الشكل (4) خصائص تقارب التوجيه القائمة على RDE

تعرضت جميع الخوارزميات للتغيرات طبولوجية في نفس الوقت. شوهت جوانب التقارب في الشكل 4 إلى الشكل 6 وفقاً للطبولوجيا 3. تظهر نتائج الحصول على مسار التوجيه لكل من الهياكل الثلاثة المرتبطة بحالات مختلفة في الجدول 1. وفقاً للاحظات المحاكاة، في ظل RDE لجميع المسارات التي تم الحصول عليها بأعلى تكلفة للمسار، يتمأخذ مزيد من الوقت للوصول إلى القيمة النهائية. تظهر التجارب أن RDE يستغرق وقتاً أطول للوصول إلى الحلول المثلث وخلال هذا الوقت، قد تؤدي زيادة فرصية التغيرات في الهيكل إلى أسوأ حالة والنتيجة التي تم الحصول عليها غير مجذبة. قد يكون من المستحيل على PDE إيجاد الحلول المثلث ضمن إطار زمني إذا كانت هناك درجة كبيرة من الاختلاف في الهيكل. في كل حدث، توقت KDE على المناسبة من حيث القدرة على التكيف.



الشكل (5) خصائص تقارب التوجيه القائم على PDE

خليل، الحسين

دوري رسالة طلب قائمة على الرزم إلى رئيس المجموعة من أجل الحصول على بيانات أخذ العينات من أجهزة الاستشعار. (6) التوصيات متاظرة ولاسلكية. (7) عدد المستشعرات يفوق عدد CHs.

5-2 الحل المقترن للكشف عن رأس الكتلة:

استراتيجية الطفرات الهجينة القائمة على (HEDM) DE تم استخدام شكل مختلف من استراتيجية الطفرة في الطريقة المقترنة، التي حملت مجموعة من المتجهات التقاضلية التي تشكلت في ظل البيئة الاحتمالية من خلال الاختلاف بين أفضل الحلول وحل تم اختياره عشوائياً أو الاختلاف بين اثنين من أعضاء الحل المختارين عشوائياً. المتجه التقاضلي المشكل في النهج الأول يزيد من سرعة التقارب بينما يدعم النهج الثاني الاستكشاف. العملية الكاملة لاستراتيجية الطفرة المحددة أدناه أثناء إجراء عملية الانتقال وال اختيار العادي على النحو المحدد في النموذج القياسي لـ ED.

قيمة عنبة (T) $0.5 < T < 0.7$.

رقم عشوائي R تم إنشاؤه من خلال $[0,1]$ U

\leftarrow أفضل الحلول الحالية للسكان

إذا كان $R < T$

أي عضوين (Z_1, Z_2) تم اختيارهم بشكل عشوائي من السكان.

المتجه التقاضلي المحدد على النحو التالي:

$$[BM - Z_2] \times mf \rightarrow Dv$$

$$Z_1 + Dv \rightarrow Mv$$

وإلا أي ثلاثة Z_1, Z_2, Z_3 تم اختيارهم بشكل عشوائي من السكان.

المتجه التقاضلي المعرف على النحو التالي:

$$[Z_3 - Z_2] \times mf \rightarrow Dv$$

$$Z_1 + Dv \rightarrow Mv$$

النهاية:

5-3 اختيار مشكلة النمذجة كمشكلة التحسين:

لضمان الاختيار الفعال لـ HC، يتم أحذها كدالة لعقد الطاقة المتبقية وقياسات المسافة، ويتضمن قياس المسافة متوسط المسافة داخل المجموعة بين عقد المستشعر وعقدة الحوض.

فعالية خوارزمية التطور المعدلة لتحسين عمر الشبكة للقرارات مما يجعله أقل وقتاً مطلوباً للعثور على المسار الجديد. من الجدول 1، يمكن رؤية تحليل إحصائي مختلف تم إجراؤه فيما يتعلق بالأحداث التي تم إطلاقها في الشبكة. من الجدول 2 يمكن ملاحظة أن توفير الطاقة في التوجيه تحت KDE أفضل مقارنة بكل من RDE وPDE. ويرجع ذلك إلى أن KDE تستفيد من جميع السكان لإنشاء أجیال جديدة، ولكن في كل حدث يتم بدء التشغيل باستخدام أفضل الحلول التي تم اكتشافها حتى وقوع الحدث.

5. الكشف عن الرأس العنقيوي باستخدام استراتيجية الطفرة الهجينة في DE.

5-1 نموذج الطاقة:

تكون مسافة الانتشار (d) أقل من مسافة العتبة d_0 في نموذج الطاقة الخاص بـ WSN، فإن استهلاك الطاقة للعقدة يتاسب مع d_2 ، وإلا فإنه يتاسب مع d_4 . يتم تحديد إجمالي الطاقة المستهلكة لإرسال حزمة بت لكل عقدة في الشبكة في المعادلة 6.

$$E_{tr(l,d)} = \begin{cases} l \times E_{elect} + l \times \epsilon_{fs} \times d^2 & \text{if } d < d_0 \\ l \times E_{elect} + l \times \epsilon_{mp} \times d^4 & \text{if } d \geq d_0 \end{cases} \quad (6)$$

حيث، E_{elect} : مقدار الطاقة المشتقة لكل بت لتشغيل دارة المرسل أو المستقبل، والتي يتم تحديدها بواسطة عدد من العوامل بما في ذلك التشغيل الرقمي والتشكيل والتصفية ونشر الإشارة. ϵ_{fs} : طاقة لتضخيم الإشارة في نموذج الفضاء الحر. ϵ_{mp} : طاقة لتضخيم الإشارة في نموذج متعدد المسارات. d_0 : حد مسافة الإرسال وبالمثل فإن استهلاك الطاقة من قبل المستقبل لبيانات بت قد أعطته المعادلة 7.

$$E_{rv}(l) = l \times E_{elect} \quad (7)$$

هناك بعض الافتراضات التي تم إجراؤها على النحو التالي مع الشبكة (1) عقد المستشعرات ثابتة في طبيعتها. (2) يوجد نوعان من العقد: عقد الاستشعار لاستشعار المعلمة ذات الأهمية، وعقد المحطة الأساسية، والتي كانت موجودة في قلب الشبكة. (3) حملت كل عقدة حساسة رقم تعريف مميز (ID) وطاقة أولية ذات نطاق مماثل. (4) العقدة مطلوبة لاستخدام مستويات مختلفة من طاقة الإرسال اعتماداً على المسافة إلى العقدة المستهدفة. (5) ترسل BS بشكل BS

خليل، الحسين

البالغ 50 لجميع الخوارزميات للتجربة. أُنفقت CHs الطاقة في الحصول على البيانات وتجميعها وتوجيهها إلى BS، لذلك تم إجراء تحليل الأداء على إجمالي استخدام الطاقة لعدد معين من الجولات. تمأخذ القيمة على أنها 0.3 بحيث يمكن الحصول على طاقة عالية من CHs. تم عرض معلمة الشبكة المدروسة في الجدول 3. تم تقييم أداء خوارزمية مختلفة من dyPSO PSO و SDE و HMDE عبر شبكة مختلفة وظروف مختلفة. في dyPSO، انخفض الخمول من 1.2 إلى 0.1 مع التكرار بينما تمأخذ قيمة عامل التقييد على أنها 0.72 جنباً إلى جنب مع معامل التناسل الذي كانت قيمتهم 2. بالنسبة لـ SDE، تم استخدام تسيير CH/1. تم عرض أداء الشبكة الأولى بـ 15 bin/rand في الشكل 7. بينما على نفس الشبكة مع CH30، تم عرض أداءها الذي تم الحصول عليه في الشكل 8. يمكن أن يلاحظ أنه بالمقارنة مع dyPSO، كان أداء SDE أفضل ولكن الخوارزمية المقترحة HMDE تفوقت على كل من هذه الخوارزميات. تم عرض مقارنة أداء 40 shC على الشبكة الثانية في الشكل 9 ولوحظ أن استراتيجية الطفرات الهجينية قد قدمت أداءً فائقاً. ولوحظ أيضاً أنه مع زيادة عدد الجولات، ظهر المزيد من استهلاك الطاقة وكانت فجوة استهلاك الطاقة بين HMDE والخوارزميات الأخرى أوسع وأوسع. وتم توضيح الفوائد المؤدية التي تم الحصول عليها في توفير الطاقة مقابل dyPSO بواسطة SDE و HMDE في الجدول 4.

فعالية خوارزمية التطور المعدلة لتحسين عمر الشبكة.....
الهدف الرئيسي من HC هو تقليل المسافة داخل الكتلة وأيضاً لتقليل المسافة من BS إلى جميع shC في الشبكة المحددة

$$F_1 = \sum_{j=1}^m \frac{1}{l_i} \left(\sum_{i=1}^{l_j} dis(s_i, CH_j) + dis(CH_j, BS) \right) \quad (8)$$

يُفضل زيادة الطاقة الإجمالية لرؤوس المجموعة المختارة بالكامل إلى أقصى حد عند اختيار رؤوس المجموعات المثلث كما في المعادلة 9.

$$F_2 = \frac{1}{\sum_{j=1}^m (E_{CHj})} \quad (9)$$

حيث E_{CHj} طاقة j ، رأس الكتلة، $m \leq j \leq m$ ومن ثم يمكن تعريف وظيفة الهدف النهائية على أنها المعادلة 10

$$\left(F = \gamma \times F_1 + (1 - \gamma) \times F_2 \right) \quad (10)$$

يجب أن تقلل الوظيفة الموضوعية من أجل الحصول على قيمة أعلى من اللياقة. يُفضل تعظيم إجمالي الطاقة لرؤوس المجموعة المختارة بالكامل عند اختيار رؤوس المجموعة المثلث، مما يستلزم تقليل التبادلية لها على النحو المنصوص عليه.

5-4 تشكيل الكتلة:

تم تطبيق وظيفة مرحلة بواسطة عقد المستشعر للانضمام إلى CH كما هو موضح أدناه

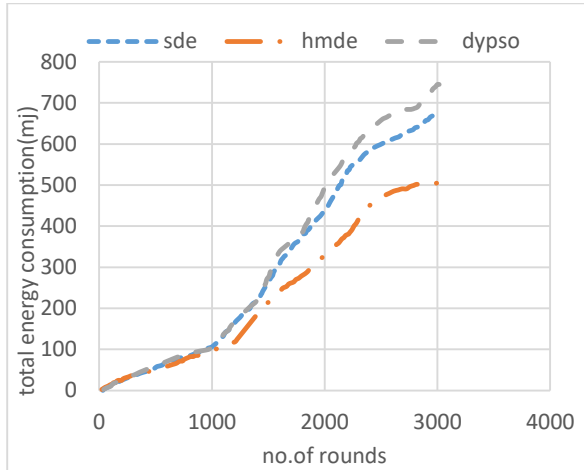
$$CH_W(s_i, CH_j) = \frac{E_{residual\ energy}(CH_j)}{dis(s_i, CH_j) \times dis(CH_j, BS) \times node\ degree(CH_j)} \quad (11)$$

6. النتائج التجريبية لاكتشاف رأس الكتلة:

تم تحميل شبكة مختلطة العقدتين 300 و 400 مستشعرات في المنطقة المستهدفة البالغة 200×200 متر مربع وذلك للغرض التجاري. في الشبكة الأولى، تم اعتبار رقمين مختلفين من CHs على أنهما 15 و 30 بينما تم اعتبار 40 CHs للشبكة الثانية. تم تشغيل جميع الخوارزميات التي تم النظر فيها بشكل متكرر لعشر مرات لطبولوجيا الشبكة تحت الملاحظات وتمت مقارنة القيم المتوسطة للكفاءة الطاقية. تم تعين الحجم الأولي للسكان

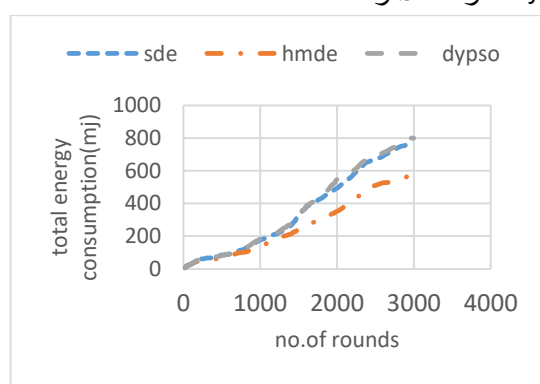
خليل، الحسين

التطور التقاضي للعثور على رأس كتلة أفضل تحت توقينات شبكة مختلفة. هناك العديد من الخوارزميات التجريبية الأخرى، بعضها خوارزميات قائمة على التطورية مثل CS و GWO و FFOA و GA وما إلى ذلك.



الشكل (8) مقارنة إجمالي استهلاك الطاقة للشبكة الأولى (30)

يتم تشغيل عمليات المحاكاة لشبكات مختلفة وعدد يكون CH15 و CH30 و CH40 تم تفيذهـا لـ 1500 و 2000 و 2500 و 3000 تـكرار، في جميع الطاقة المستهلكة للعثور على CHS يتم قياسها للخوارزميات المتـكورة أعلاه وكذلك تحت .SPyD و SDE و HMDE

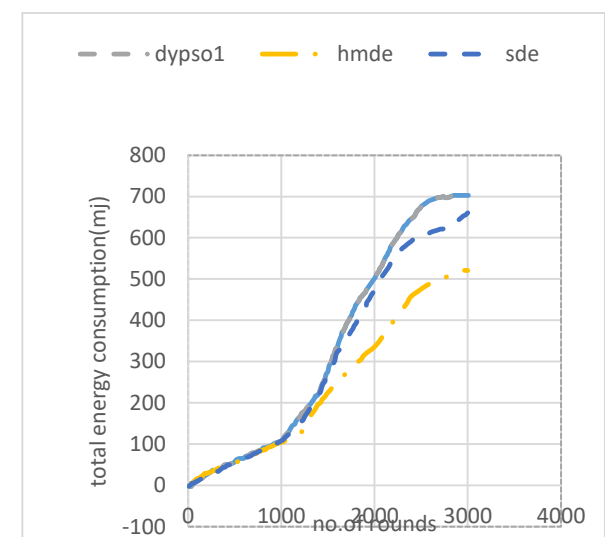


الشكل (9) مقارنة إجمالي استهلاك الطاقة للشبكة الثانية (CHs 40)

فعالية خوارزمية التطور المعدلة لتحسين عمر الشبكة.....

الجدول (3) بـارامـترات الشـبـكة

Network target area	200×200 m ²
E _{elect}	50 nJ /bit
ϵ_{fs}	10 pJ/bit/m ²
d ₀	30m
d _{max}	100m
Packet length	4000bit
Message size	500bit



الشكل (7) مقارنة إجمالي استهلاك الطاقة للشبكة الأولى (CHs 15)

تـابـع طـاقـة العـقـد دـاخـل الـكتـلـة دـورـاً رـئـيـسـيـاً فـي تـفـيـذ عـمـلـيـات الشـبـكـة فـي ظـل التـوـجـيـه الـهـرـمـيـ. يـحـتـاج التـوـجـيـه إـلـى النـظـر فـي نـقـل الـبـيـانـات مـن الـعـقـد إـلـى الـمـحـطـة الـأـسـاسـيـة، إـذـا كـانـت الـعـقـد فـي مـوـقـع بـعـيدـ، فـيـجـب اـتـبـاع التـوـجـيـه مـتـعـدـدـ الـمـسـارـاتـ الـذـي يـمـكـن أـن يـؤـدي إـلـى مشـكـلـة نـقـطة فـعـالـة وـمشـكـلـة عـزـلـ الشـبـكـةـ. لـذـكـ فـي التـسـلـسل الـهـرـمـيـ يـتـم تـشـكـيلـ الـعـقـدـ فـيـ مـجـمـوعـاتـ وـسـيـكـونـ لـكـلـ مـجـمـوعـةـ رـأـسـ عـقـوـدـيـةـ، وـسـتـقـومـ الـعـقـدـةـ عـالـيـةـ طـاقـةـ بـجـمـعـ الـبـيـانـاتـ مـنـ الـعـقـدـ عـقـوـدـيـةـ وـإـرـسـالـهـاـ إـلـىـ الـمـحـطـةـ الـأـسـاسـيـةـ. تـعـتـبرـ مـهـمـةـ العـثـورـ عـلـىـ CHـ فـعـالـةـ مـهـمـةـ صـعـبـةـ تـقلـلـ مـنـ تـكـلـفـةـ النـقـلـ إـلـىـ الإـجمـالـيـةـ. فـيـ هـذـهـ الـدـرـاسـةـ، تـمـ النـظـرـ فـيـ اـسـتـرـاتـيـجـيـةـ طـفـرـةـ هـجـيـنـةـ فـيـ ظـلـ

خليل، الحسين

واستراتيجية التحول العشوائي. وهذا يساعد على زيادة التنوع في المجموعة وتحسين جودة الحلول المرشحة.

2- تستخدم خوارزمية التحسين الامرقة (Unsupervised Learning)، حيث تقوم بتحسين الحلول المرشحة بشكل تلقائي دون الحاجة إلى معرفة مسبقة للمشكلة المطلوب حلها.

3- تعتمد الخوارزمية بشكل كبير على العناصر العشوائية في عملية التحسين، مما يعزز التنوع في المجموعة ويقلل احتمال الواقع في الحلول المحلية.

مقارنة بين خوارزمية HMDE والخوارزميات الأخرى المعدلة لخوارزمية التطور التقاضي:

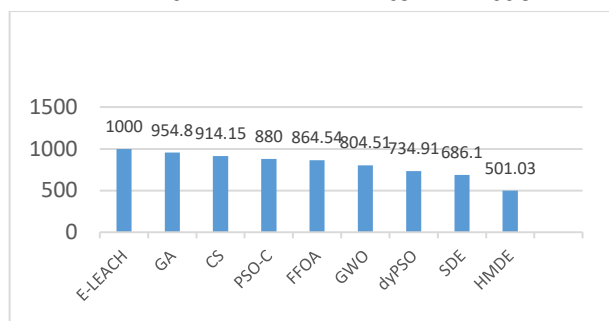
1- مقارنة مع RDE: تستخدم خوارزمية RDE تعديلاً على عملية تحديث مجموعة الحلول المرشحة، بينما تستخدم استراتيجيات تحول متعددة لتحسين الحلول، مما يزيد من فعالية الخوارزمية في تحقيق أفضل الحلول.

2- مقارنة مع KDE: تستخدم خوارزمية KDE المعرفة المسبقة للمشكلة في عملية التحسين، بينما تعتمد HMDE على العناصر العشوائية في عملية التحسين. وبالتالي، يمكن أن تكون HMDE أكثر فعالية في حالة عدم وجود معرفة مسبقة للمشكلة.

3- مقارنة مع PDE: تستخدم خوارزمية PDE زيادة عشوائية في الحلول المرشحة، بينما تستخدم HMDE استراتيجيات تحول مختلفة. وبالتالي، يمكن أن تكون HMDE أكثر فعالية في تحسين جودة الحلول المرشحة وتقليل احتمال الواقع في الحلول المحلية.

بشكل عام، تعتبر خوارزمية HMDE خوارزمية معدلة فعالة في تحسين جودة الحلول المرشحة وتقليل احتمال الواقع في الحلول المحلية. وتستخدم الخوارزمية استراتيجيات تحول مختلفة وتعتمد على العناصر العشوائية في عملية التحسين، مما يزيد من التنوع في المجموعة ويساعد من جودة الحلول المرشحة. ومقارنة بالخوارزميات الأخرى المعدلة لخوارزمية التطور التقاضي، تعتبر HMDE أكثر فعالية في بعض الحالات، حيث تستخدم العناصر العشوائية في عملية التحسين بدلاً من المعرفة المسبقة للمشكلة، كما أنها تستخدم

فعالية خوارزمية التطور المعدلة لتحسين عمر الشبكة.....



الشكل (10) استهلاك الطاقة لخوارزميات مختلفة

الجدول(4) النسبة المئوية (%) توفير الطاقة بواسطة خوارزميات مختلفة مقابل خوارزمية dyPSO

رقم الجولة	الشبكة الأولى CHs 15		الشبكة الثانية CHs 30		الشبكة الثالثة CHs 40	
	SD E	HM DE	SDE	HM DE	SD E	HM DE
400	6.0	16.0	8.3	16.7	4.2	26.4
800	5.6	10.0	5.7	10.2	3.3	19.0
1200	12.4	29.4	2.4	31.7	1.4	14.3
1600	5.9	28.2	7.1	29.6	0.8	29.7
2000	5.6	33.8	11.89	34.3	9.3	35.7
2400	8.7	29.9	8.9	29.8	3.9	26.5
3000.	0	6.4	26.1	8.8	32.6	3.9
						27.5

7- اهم مميزات خوارزمية Hybrid mutation KDE ومقارنتها مع strategy based DE :RDE, PDE

خوارزمية HMDE هي خوارزمية معدلة لخوارزمية التطور التقاضي، وتحتاج بعدة مميزات من بينها:

1- تستخدم استراتيجيات تحول مختلفة للتحسين، مثل استراتيجية الفرز العشوائي واستراتيجية التحول الحالي

فعالية خوارزمية التطور المعدلة لتحسين عمر الشبكة.....
استراتيجيات تحول متعددة لتحسين الحلول بدلاً من تعديل
عملية تحديث مجموعة الحلول المرشحة، مما يجعلها خياراً
جيداً في حالة عدم وجود معرفة مسبقة للمشكلة. ومع ذلك،
فإن الخوارزميات المذكورة الأخرى مثل KDE و RDE و
PDE لها مزاياها الخاصة ويمكن استخدامها بنجاح في
حالات معينة.

8. الخاتمة:

يتمثل التحدي الرئيسي مع WSN في إطالة عمر الشبكة من
 خلال وجود توجيه موفر للطاقة واختيار فعال لرأس
المجموعة، وهو ما تم تناوله في هذا العمل. تم اعتبار
التطور التفاضلي بمثابة منصة الحل لكلا القضايان بينما تم
اقتراح متغيرات مختلفة لتحسين جودة النموذج القياسي لـ
DE. تم حل تعقيد التوجيه في الشبكة الديناميكية بكفاءة
باستخدام المعرفة السابقة المكتسبة. مع التغيير الجديد في
البنية، فإن إعادة التوجيه من البداية والتي استهلكت المزيد
من الوقت ليس فقط أنه يمكن أن تكون هناك فرصة لتغيير
جديد في البنية مما قد يتسبب في إهدار الجهد السابق
المطبق. ومن ثم فإن النهج القائم على المعرفة يستخدم
المعلومات التي تم الحصول عليها مسبقاً للحصول على
التوجيه الأمثل في غضون فترة زمنية أقل. لقد وفر اكتشاف
رأس الكتلة وسيلة لتوفير الكثير من الطاقة ولكن تم حل
مشكلة التعقيد العالية بكفاءة من خلال توفير استراتيجية طفرة
هجينة كان لها توازن أفضل بين الاستكشاف والاستغلال.
وقد لوحظ أن HMDE قد قدمت الكثير من الكفاءة.

التمويل: هذا البحث ممول من جامعة دمشق وفق رقم
التمويل(501100020595).

REFERENCES:

1. K. -S. B. Pralhad, C. R. Singla and S. B. Patil, "Design of An Energy Efficient Data Aggregation Method for Secured Routing Protocol in WSN," 2nd Asian Conference on Innovation in Technology (ASIANCON), 2022, pp. 1-6, doi 10.1109/ASIANCON55314.2022.9909403.
2. Mohammed, R. J., Abed, E. A., & El-gayar, M. M.. "Comparative study between metaheuristic algorithms for internet of things wireless nodes localization", International Journal of Electrical and Computer Engineering (IJECE) 12(1) 2022, 660
<https://doi.org/10.11591/IJECE.V12I1.PP660-668>.
3. Joshi, P., & Raghuvanshi, A. S. "Hybrid Approaches to Address Various Challenges in Wireless Sensor Network for IoT Applications: Opportunities and Open Problems". International Journal of Computer Networks and Applications, 8(3) (2021). 151. <https://doi.org/10.22247/IJCN/2021/209186>.
4. Sharawi, M., Saroit, I. A., El-Mahdy, H., & Emary, E "Routing Wireless Sensor Networks Based on Soft Computing Paradigms: Survey", International Journal on Soft Computing, Artificial Intelligence and Applications, 2(4) (2013), 21–36. <https://doi.org/10.5121/IJSCAI.2013.2403>.
5. Sekaran, K., Rajakumar, R., Dinesh, K., Rajkumar, Y., Latchoumi, T. P., Kadry, S., & Lim, S. "An energy-efficient cluster head selection in wireless sensor network using grey wolf optimization algorithm", TELKOMNIKA (Telecommunication Computing Electronics and Control), 18(6) (2020), 2822.
<https://doi.org/10.12928/TELKOMNIKA.V18I6.15199>.
6. Nabavi, Seyed Reza, Nafiseh Osati Eraghi, and Javad Akbari Torkestani. "Intelligent Optimization of QoS in Wireless Sensor Networks Using Multiobjective Grey Wolf Optimization Algorithm." Wireless Communications and Mobile Computing (2022): 1–15.
7. Uppal R.S "Hybrid Intelligent Algorithm for Energy-Efficient Routing in WSN", In: Urooj S., Virmani J. (eds) Sensors and Image Processing. Advances in Intelligent Systems and Computing, vol 651. (2018), Springer, Singapore. <https://doi.org/10.1007/978-981-10-6614-619>.
8. Vinodhini R., Gomathy C. (2020) A Hybrid Approach for Energy Efficient Routing in WSN: Using DA and GSO Algorithms. In: Smys S., Bestak R., Rocha Á. (eds) Inventive Computation Technologies. ICICIT 2019. Lecture Notes in Networks and Systems, vol 98. Springer, Cham.
<https://doi.org/10.1007/978-3-030-33846-655>.
9. Shafiq, M., Ashraf, H., Ullah, A. et al. Systematic Literature Review on Energy Efficient Routing Schemes in WSN – A Survey. Mobile Netw Appl 25, 882–895 (2020).
<https://doi.org/10.1007/s11036-020-01523-5>.
10. Qabouche, H., Sahel, A. & Badri, A. Hybrid energy efficient static routing protocol for homogeneous and heterogeneous large scale WSN. Wireless Netw 27, 575–587 (2021).
<https://doi.org/10.1007/s11276-020-02473-2>.
11. Tabassum A., Sadaf S., Sinha D., Das A.K. Secure Anti-Void Energy-Efficient Routing (SAVEER) Protocol for WSN-Based IoT Network. In: Sahana S., Bhattacharjee V. (eds) Advances in Computational Intelligence. Advances in Intelligent Systems and Computing, vol 988. Springer, (2020).
12. R. V. Kulkarni and G. K. Venayagamoorthy, "Particle swarm optimization in wireless-sensor networks: a brief survey," IEEE Transactions on Systems, Man and Cybernetics Part C, vol. 41,no. 2, pp. 262–267, 2011.

13. T. Kang, J. Yun, and K. Han, “A clustering method for energy efficient routing in wireless sensor networks,” in Proceedings of the 6th International Conference on Electronics, Hardware, Wireless and Optical Communications (WSEAS '07), pp. 133–138, Corfu Iceland, Greece, February 2007.
14. K. Halgamuge, and S. Fernando, “Particle swarm optimizers for cluster formation in wireless sensor networks,” in Proceedings of the IEEE International Conference on Intelligent Sensors, Sensor Networks and Information Processing (ISSNIP '05), S. K. Halgamuge, Ed., pp. 319–324, Melbourne, Australia, December 2005.
15. N. M. A. Latiff, C. C. Tsimenidis, and B. S. Sharif, “Energy-aware clustering for wireless sensor networks using particle swarm optimization,” in Proceedings of the 18th Annual IEEE International Symposium on Personal, Indoor and Mobile Radio Communications (PIMRC '07), pp. 1–5, Athens, Greece, September 2007.
16. Prabaharan, G., Jayashri, S. Mobile cluster head selection using soft computing technique in wireless sensor network. *Soft Comput* 23, 8525–8538 (2019). <https://doi.org/10.1007/s00500-019-04133-w>.
17. Sudha C., Suresh D., Nagesh AAn Enhanced Dynamic Cluster Head Selection Approach to Reduce Energy Consumption in WSN. In: Saini H.S., Singh R.K., Tariq Beg M., Sahambi J.S. (eds) Innovations in Electronics and Communication Engineering. Lecture Notes in Networks and Systems, vol 107. Springer, Singapore. (2020). https://doi.org/10.1007/978-981-15-3172-9_22.
18. Rathore, P.S., Chatterjee, J.M., Kumar, A. et al. Energy-efficient cluster head selection through relay approach for WSN. *J Supercomput* (2021). <https://doi.org/10.1007/s11227-020-03593-4>.
19. J. Kennedy and R. Eberhart, “Particle swarm optimization,” in Proceedings of the IEEE International Conference on Neural Networks, vol. 4, pp. 1942–1948, Perth, Australia, November- December 1995.
20. F. Xiangning, and S. Yulin, “Improvement on LEACH protocol of wireless sensor network,” 2007 International Conference on Sensor Technologies and Applications, pp. 260-264, 2007.
21. M. Sangeetha, and A. Sabari, “Genetic optimization of hybrid clustering algorithm in mobile wireless sensor networks,” *Sensor Review*, vol. 38, no. 4, pp. 526-533, 2018.
22. Sekaran, Kaushik, and P. Venkata Krishna, "Big Cloud: a hybrid cloud model for secure data storage through cloudsphere," *International Journal of Advanced Intelligence Paradigms*, vol. 8, no. 2, pp. 229-241, 2016.
23. G. Kia, and A. Hassanzadeh, “HYREP: A Hybrid Low-Power Protocol for Wireless Sensor Networks,” *International Journal of Engineering*, vol. 32, no. 4, pp. 519-527, 2019.
24. N. A. Latiff, C. C. Tsimenidis, and B. S. Sharif, “Energy-aware clustering for wireless sensor networks using particleswarm optimization,” 2007 IEEE 18th International Symposium on Personal, Indoor and Mobile RadioCommunications, pp. 1-5, 2007.
25. K. N. Dattatraya, and K. R. Rao, “Hybrid based cluster head selection for maximizing network lifetime and energy efficiency in WSN,” *Journal of King Saud University-Computer and Information Sciences*, pp. 1-11, 2019.